



246180



และการท่องเที่ยวในประเทศไทย จึงเป็นการที่สำคัญมากที่จะต้องมีการอนุรักษ์ความงาม

นิทานชาดก พ. ๕๖๔๘

ទីលាងនីមួយៗនេះបែងចាយអាមេរិកខ្លួនទៅក្នុងទីលាង  
ដើរឲ្យរួមទៅក្នុងទីលាងទាំងនេះ និងទីលាងទាំងនេះទៅក្នុងទីលាង  
នៅក្នុងទីលាងទាំងនេះ និងទីលាងទាំងនេះទៅក្នុងទីលាងទាំងនេះ

ก.ศ. 2554

b00251892

ห้องสมุดงานวิจัย สำนักงานคณะกรรมการการอุดมศึกษา



246180

## แบบจำลองไกดานามิกระบวนการเชลล์แสงอาทิตย์แบบเชื่อมต่อกับระบบจำหน่าย

นายนพพร พัชรประกิจิ วศ.ม. (วิศวกรรมไฟฟ้า)

วิทยานิพนธ์นี้เป็นส่วนหนึ่งของการศึกษาตามหลักสูตร

ปริญญาปรัชญาดุษฎีบัณฑิต สาขาวิชาเทคโนโลยีพลังงาน

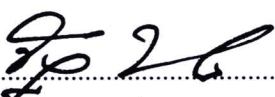
คณะพลังงานสิ่งแวดล้อมและวัสดุ

มหาวิทยาลัยเทคโนโลยีพระจอมเกล้าธนบุรี

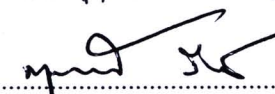
พ.ศ. 2554



คณะกรรมการสอบวิทยานิพนธ์

  
(ดร. จัตุภัท ทองปะ农)

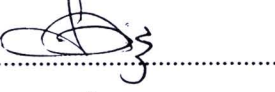
ประธานกรรมการสอบวิทยานิพนธ์

  
(ดร. กฤณพงศ์ กิรติกร)

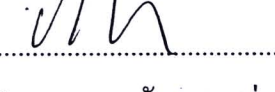
กรรมการและอาจารย์ที่ปรึกษาวิทยานิพนธ์

  
(ดร. ชิรยุทธ เจนวิทยา)

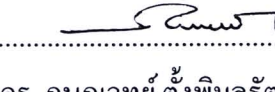
กรรมการและอาจารย์ที่ปรึกษาวิทยานิพนธ์ร่วม

  
(ดร. ชาย ชีวะเกตุ)

กรรมการ

  
(ผศ. ดร. อนวัช แสงสว่าง)

กรรมการ

  
(ดร. กนกเวทย์ ตั้งพิมลรัตน์)

กรรมการ

ลิขสิทธิ์ของมหาวิทยาลัยเทคโนโลยีพระจอมเกล้าธนบุรี

หัวข้อวิทยานิพนธ์	แบบจำลอง ไกดามิกของระบบเซลล์แสงอาทิตย์แบบเชื่อมต่อกับระบบ จำหน่าย
หน่วยกิต	42
ผู้เขียน	นายนพพร พัชรประคิติ
อาจารย์ที่ปรึกษา	ดร. กฤษณพงศ์ กิรติกร ดร. ธีรยุทธ เจนวิทยา
หลักสูตร	ปรัชญาดุษฎีบัณฑิต
สาขาวิชา	เทคโนโลยีพลังงาน
สาขาวิชา	เทคโนโลยีพลังงาน
คณะ	พลังงานสิ่งแวดล้อมและวัสดุ
พ.ศ.	2554

### บทคัดย่อ

246180

ทิศทางการผลิตไฟฟ้าในอนาคตทั่วโลกเปลี่ยนจากการผลิตรวมศูนย์ที่โรงจักรไฟฟ้าขนาดใหญ่หลายร้อยMWพันMWต่อวัตต์ เป็นการกระจายการผลิตไฟฟ้า(Distributed power generation) เกิดผู้ผลิตไฟฟ้าขนาดเล็ก(Small Power Producer - SPP) ซึ่งมีขนาดกำลังผลิตไม่เกิน 90 MWต่อวัตต์ และผู้ผลิตไฟฟ้าขนาดเล็กมาก (Very Small Power Producer - VSPP) ขนาดกำลังผลิตไม่เกิน 1 MWต่อวัตต์ แนวทางดังกล่าวเอื้อให้ใช้พลังงานหมุนเวียน เช่น ชีวมวล พลังงานลม เซลล์แสงอาทิตย์ พลังน้ำขนาดเล็ก ในระบบ VSPP ที่ใช้เซลล์แสงอาทิตย์ อินเวอร์เตอร์มีความสำคัญ นอกจากเปลี่ยนไฟฟ้าตรงเป็นไฟฟ้าสลับแล้ว ยังควบคุมระบบเซลล์แสงอาทิตย์ให้ทำงานใกล้ชิดกำลังไฟฟ้าสูงสุด ควบคุมคุณภาพไฟฟ้าสลับให้ได้ตามข้อกำหนดของการเชื่อมต่ออุปกรณ์การผลิตไฟฟ้าแบบกระจายกับระบบสายจำหน่ายไฟฟ้าตามมาตรฐาน จึงมีการศึกษาเพื่อสร้างแบบจำลองระบบอินเวอร์เตอร์กับระบบเชื่อมต่อระบบจำหน่ายไฟฟ้าตามมาตรฐาน ใช้ทำงานพัฒนาระบบในสภาวะการทำงานแบบต่างๆ ก่อนการสร้างระบบจริง รวมทั้งการวางแผนการควบคุมระบบ

วิทยานิพนธ์นี้หาแบบจำลองของอินเวอร์เตอร์ระบบเซลล์แสงอาทิตย์ที่ต่อ กับระบบสายจำหน่ายไฟฟ้าในสภาวะการทำงานต่างๆ โดยใช้วิธีการหาอัตถะกษณ์ระบบ ในการทดลองเก็บข้อมูลด้านอินพุทของอินเวอร์เตอร์เชื่อมต่อ กับแหล่งพลังงานที่ต้องการ ทำหน้าที่แทนแพงเซลล์แสงอาทิตย์ ด้านเอาท์พุตของอินเวอร์เตอร์ต่อ กับโหนดและระบบสายจำหน่ายที่จุด Point of Common Coupling (PCC) วัดอินพุตและเอาท์พุตในเทอมของแรงดัน กระแส และกำลังไฟฟ้าของอินเวอร์เตอร์ขนาด 1,500 Wต่อวัตต์ และ 5,000 Wต่อวัตต์ แบ่งข้อมูลที่วัดมาทั้งหมดออกเป็น 3 ชุด คือ ข้อมูลชุดสอน ข้อมูลชุดตรวจสอบ และ

## 246180

ข้อมูลทดสอบ เลือกข้อมูลการทดลองมาประมาณคราวนทางคณิตศาสตร์และสถิติ เปรียบเทียบข้อมูลจริงกับค่าจากแบบจำลอง เลือกแบบจำลองที่ความเหมาะสมที่สุดตามสภาพการทำงาน จากการพิจารณาความถูกต้องแม่นยำของแบบจำลอง (Goodness of Fit) ลำดับดีกรีของแบบจำลอง (Model order) ค่าความผิดพลาดและความน่าเชื่อถือของแบบจำลอง (Final Prediction Error - FPE และ Akaike Information Criterion - AIC)

ในขั้นต้น ให้ระบบอินเวอร์เตอร์ทำงานในสภาพคงตัว หาแบบจำลอง 8 แบบ จัดได้เป็นสองกลุ่ม คือ กลุ่มแบบจำลองเชิงเส้นจำนวน 4 แบบ โดยใช้วิธี Auto Regressive with Exogenous (ARX) Auto Regressive Moving Average with Exogenous (ARMAX), Output Error (OE), Box Jenkins (BJ) และกลุ่มแบบไม่เป็นเชิงเส้นจำนวน 4 แบบ ใช้วิธี Nonlinear Auto Regressive with Exogenous (NARX), Hammerstein, Wiener, Hammerstein-Wiener นอกจากนี้ได้ทดลองใช้ฟังก์ชันตัวประมาณความไม่เป็นเชิงเส้น 5 ฟังก์ชันคือ Deadzone, Saturation, Piecewise linear, Sigmoid network และ Wavelet network ผลแสดงว่าเมื่ออินเวอร์เตอร์ทำงานในสถานะคงตัว แบบจำลองไม่เป็นเชิงเส้นมีคุณสมบัติที่ดีกว่าแบบเชิงเส้น แบบจำลอง Hammerstein-Wiener มีสมบัติที่อธิบายพฤติกรรมของระบบได้ดี มีค่าความถูกต้องของแบบจำลองสูงประมาณ 90% ลำดับของแบบจำลองต่อไป แสดงค่าความผิดพลาดที่ต่ำกว่าวิธีอื่นทั้ง 8 แบบ

ขั้นต่อมา ทดลองเพิ่มความถูกต้องให้กับแบบจำลองซึ่งสามารถทำได้หลายวิธี ในงานวิจัยนี้ได้ใช้เทคนิค Cross Validation โดยการเพิ่มจำนวนชุดข้อมูลสำหรับการสอนและการทดสอบให้หลากหลายครอบคลุมสถานการณ์จริงของการทำงานระบบ โดยใช้ข้อมูลจากสภาพคงตัวทั้งหมด 6 สภาวะในการสอนและการทดสอบแบบจำลอง Hammerstein-Wiener ผลแสดงว่าเทคนิค Cross Validation ทำให้แบบจำลองมีความถูกต้องเพิ่มขึ้นจริง

ในส่วนจำนวนตัวแปรข้อมูลที่ใช้ในการหาแบบจำลอง ได้ทดลองหาแบบจำลองทั้งแบบอินพุต-เอาท์พุตตัวเดียว (Single Input Single Output Modeling: SISO) และแบบอินพุตหลายตัวและเอาท์พุตหลายตัวเดียว (Multiple Input Multiple Output Modeling: MIMO) ซึ่งการจำลองระบบมีตัวแปรหลายตัวจะใช้เวลาในการหาแบบจำลองที่มากกว่า แต่ก็อธิบายพฤติกรรมได้ใกล้เคียงระบบจริงเนื่องจากมีการพิจารณาภาระไมเตอร์ที่เกี่ยวข้องละเอียดมากขึ้น

แบบจำลองคณิตศาสตร์ Hammerstein-Wiener สามารถจำลองอินเวอร์เตอร์ได้หลายสภาพ การวิจัยแสดงว่าที่สภาพคงตัวที่กำลังไฟฟ้าระดับต่างๆ สภาวะชั่วครู่ และสภาพไอส์แลนดิ้ง แบบจำลองให้ความรูปคลื่นแรงดัน กระแส กำลังไฟฟ้า เทียบได้กับสัญญาณจริง มีค่าความถูกต้องสูงกว่าร้อยละ 85

## 246180

ผลการจำลองสภาวะชั่วครู่สามารถนำไปหาเสถียรภาพของระบบได้ เมื่อมีปัจจัยรบกวนจากภายนอก  
จากแบบจำลองไม่เป็นเชิงเส้น ใช้เทคนิคการทำให้เป็นเชิงเส้น (Linearization) โดยใช้เทคนิค<sup>๑</sup>  
คณิตศาสตร์ First-order Taylor's Series Approximation ให้ได้แบบจำลองเชิงเส้นผลลัพธ์ จาก  
แบบจำลองเชิงเส้นได้วิเคราะห์โดยใช้ทฤษฎีการควบคุมเชิงเส้นหาฟังชันการถ่ายโอน การตอบสนอง  
เชิงความถี่จาก Bode plot การตอบสนองต่ออินพุตแบบหนึ่งหน่วย (Unit step) การตอบสนองอินพุตส์  
การหาโพลและซีโร่ การหา Nyquist Plot และ Nichol's chart

ในส่วนสุดท้าย ได้ประยุกต์แบบจำลองในการหาคุณภาพไฟฟ้า โดยเปรียบเทียบรูปคลื่นแรงดัน  
กระแส กำลังไฟฟ้า ความถี่ ค่าอาร์เอมแอลและอัมปลิจูด ค่าสาร์มอนิกแรงดันและสาร์มอนิกกระแส  
ในสภาวะคงตัวและสภาวะชั่วครู่ พนวณคุณภาพไฟฟ้าที่ได้จากแบบจำลองมีค่าใกล้เคียงกับค่าจริงที่  
วัดได้ ผลการจำลองค่าพารามิเตอร์ทางไฟฟ้ากำลังเทียบกับสัญญาณจริง มีค่าความผิดพลาดไม่เกิน 5%  
สร้างความมั่นใจในเทคนิคการการหาแบบจำลองเพื่อประเมินผลกระทบ ของระบบเซลล์แสงอาทิตย์ที่  
เชื่อมต่อกับระบบจำหน่าย โดยไม่จำเป็นต้องติดตั้งระบบจริง นอกจากนี้ แบบจำลองยังสามารถเปลี่ยน  
สภาวะการทำงานของระบบให้เป็นไปตามต้องการ ซึ่งจะเป็นประโยชน์ต่อการวางแผน เลือกที่ตั้ง<sup>๒</sup>  
และทำให้การไฟฟ้าทราบถึงผลกระทบที่จะเกิดขึ้นกับระบบไฟฟ้า ก่อนติดตั้งระบบจริง

คำสำคัญ : แบบจำลองไดนามิก/การหาอัตถะกษณ์ระบบ/ระบบไม่เชิงเส้น

Hammerstein-Wiener Model/อินเวอร์เตอร์แบบเชื่อมโยงกับระบบจำหน่าย

Dissertation Title	Dynamic Modeling of Grid Connected Photovoltaic System
Dissertation Credits	42
Candidate	Mr. Nopporn Patcharaprakiti
Dissertation Advisors	Dr. Krissanapong Kirtikara Dr. Dhirayut Chenvidhya
Program	Doctor of Philosophy
Field of Study	Energy Technology
Department	Energy Technology
Faculty	School of Energy, Environment and Materials
B.E.	2554

### Abstract

**246180**

This research proposes about dynamic modeling of grid connected photovoltaic inverter by using system identification approach. The advantage of this approach is use only measured input and output of system and it does not need the prior information of inverter. The system identification modeling of inverter is divided into 2 stages. A first stage is experimental and collect input – output data of inverter. The next stage is data processing by mean of statistic and mathematical theory. Finally the optimize modeling with represent the system will be obtained and use to analyzed or system evaluation. We choose 2 sizes of inverter for modeling follow as small size with 1,500 Watts and large size 5,000 Watts.

The research experimental is classified into 4 sessions follow as First session, PV inverters are tested by steady condition. In this condition 4 types of linear model and 4 types of nonlinear model are chosen to evaluate the performance of model. The result of modeling found that nonlinear model can generate output of system with high accuracy than the linear model. The best model which can represent system with low order equation and high accuracy is Hammerstein-Wiener model. A Hammerstein-Wiener model has structure with nonlinear input part, linear part and nonlinear output part. The structures of PV grid connected inverter are composed of controller, power electronics and sensors respectively. Comparatively, a controller and a sensor have nonlinear behavior and power electronics circuit represent the linear system. With this reason, the Hammerstein-Wiener model is selected for explain the behavior of PV grid connected system.

**246180**

In this session, PV inverter under various conditions are experimented and modeled. The Step up and Step down transient condition are designed for imitate an uncertainty behavior of solar irradiance, temperature, load and utility. An Islanding condition is experimented for represent a behavior of PV inverter when the utility collapse. The experimental setup is implemented and input-output parameter are collected and transmitted into the computer. The Hammerstein-Wiener model is selected for modeling both conditions. The result found that the obtained model can generate output which has accuracy more than 85%.

The next session, accuracy improvement of modeling is concentrated. The two techniques are studied follow as cross validation techniques and Multi input Multi output system identification approach. The goal of cross-validation is to estimate the expected level of fit of a model to a data set that is independent of the data that were used to train the model. An inverter of a grid-connected photovoltaic system has been tested and its model determined. The inverter operates in six steady state conditions and their modelings is done using Hammerstein Wiener Model and leave one out cross validation techniques. The average percentage accuracy of system identification with cross validation data and no cross validation is 81.89 and 63.83 respectively. A multiple input multiple output model is realized that a relationship between each input-output of parameter should be considered simultaneously. A single input multiple output (SIMO) model, multiple input single output (MISO) and multiple input multiple output (MIMO) are investigated. The experimental is implemented and more input-output are collected and modeling approach is operated. The accuracy of SIMO, MISO and MIMO are more than 90%.

The final session of this research is studied about modeling utilization. The obtained model from the prior part can be analyzed by using nonlinear theory. The nonlinear model is linearized and then the linear theory is used the analyzed. The system analysis which composed of time response, frequency response and stability analysis are characterized. The electrical output predictions from model are studied the power quality analysis based on IEEE standard.

Keyword: Dynamic modeling/System Identification/Hammerstein-Wiener/Photovoltaic inverter

## กิตติกรรมประกาศ

งานวิทยานิพนธ์นี้สำเร็จลุล่วงได้ด้วยดี ผู้วิจัยขอกราบขอบพระคุณ ดร. กฤษณพงศ์ กีรติกร และ ดร. ธีรยุทธ์ เจนวิทยา อาจารย์ที่ปรึกษาเป็นอย่างสูงที่กรุณาให้ความรู้ตลอดจนให้คำปรึกษา แนะนำทั้งในการทำงาน การใช้ชีวิตและการแก้ปัญหาต่างๆ และขอกราบขอบพระคุณอาจารย์ชาย ชีวะเกตุ ดร. จัตตุฤทธิ์ ทองปoron พศ.ดร. อนวัช แสงสว่าง และดร. กนกเวทย์ ตั้งพินทรัตน์ คณะกรรมการสอบวิทยานิพนธ์ ที่ให้ความกรุณาสละเวลาในการตรวจทานและคำแนะนำช่วยเหลือในการทำวิจัย

ขอกราบขอบพระคุณ ดร.วีระพล โนนยะกุล ดร.บรรค์ชัย ตุลละสกุล และคณาจารย์ทุกท่านที่ได้ประสิทธิ์ประสาทวิชาความรู้และให้คำปรึกษา คำแนะนำต่างๆ แก่ผู้วิจัยตลอดระยะเวลาของการศึกษาในสถาบันแห่งนี้

ขอกราบขอบพระคุณ ศ.ดร.ณรงค์ฤทธิ์ สมบัติสมภพ อาจารย์ผู้ประสานงานโครงการความร่วมมือทางวิชาการระหว่างมหาวิทยาลัยเทคโนโลยีพระจอมเกล้าธนบุรีและมหาวิทยาลัยเทคโนโลยีราชมงคลล้านนา ขอขอบคุณเจ้าหน้าที่คณะกรรมการพัฒางานสิ่งแวดล้อมและวัสดุทุกท่านที่อำนวยความสะดวกตลอดระยะเวลาในการศึกษา ขอขอบคุณมหาวิทยาลัยเทคโนโลยีราชมงคลล้านนา และสำนักพัฒนานโยบายและแผนพัฒางาน กระทรวงพัฒางาน และสำนักงานคณะกรรมการการอุดมศึกษา กระทรวงศึกษาธิการที่ได้ให้ทุนสนับสนุนการศึกษาและทุนวิจัย

ขอขอบคุณคุณบัลลังก์ หมื่นพินิจ และเจ้าหน้าที่ศูนย์ทดสอบระบบเชลล์แสดงอาทิตย์ทุกท่านที่ให้ความช่วยเหลือเรื่องเครื่องมือ อุปกรณ์การทำวิจัย และการเก็บข้อมูล

ขอขอบคุณคุณจิรวรรณ แซ่เล้า เพื่อนๆ นักศึกษาปริญญาเอก เพื่อนคณาจารย์จากมหาวิทยาลัยเทคโนโลยีราชมงคลล้านนา และเจ้าหน้าที่สาขาเทคโนโลยีพัฒางานทุกท่านที่เป็นกำลังใจและสร้างบรรยายศิวิชาการที่ดีตลอดมา

ท้ายสุดนี้ผู้เขียนขอกราบขอบพระคุณ บิดา มารดา ของผู้วิจัยที่ให้ชีวิตและอบรมสั่งสอนแก่ข้าพเจ้าตลอดจนครอบครัว พี่น้องและญาติมิตรที่เคยส่งเสริมและสนับสนุนในทุกเรื่องๆ และเป็นกำลังใจสนับสนุนสำเร็จมาได้ถึงทุกวันนี้

## สารบัญ

	หน้า
บทคัดย่อภาษาไทย	๙
บทคัดย่อภาษาอังกฤษ	๑
กิตติกรรมประกาศ	๙
<b>สารบัญ</b>	<b>๙</b>
รายการตาราง	๘
รายการรูปประกอบ	๙
รายการสัญลักษณ์	๑๐
<b>บทที่</b>	
<b>1. บทนำ</b>	<b>1</b>
1.1 ความสำคัญและที่มาของปัญหา	1
1.2 แนวทางในการแก้ปัญหา	5
1.3 วัตถุประสงค์การวิจัย	6
1.4 ขอบเขตการศึกษา	6
1.5 ประโยชน์จากการวิจัย	6
<b>2. ทฤษฎีที่เกี่ยวข้อง</b>	<b>7</b>
2.1 ระบบไดนามิกແລทฤทธิ์ระบบควบคุม	7
2.2 แบบจำลองไดนามิกด้วยวิธีอัตโนมัติ	22
2.3 การหาแบบจำลองด้วยเทคนิค cross validation	25
2.4 ประเภทของการหาอัตโนมัติ	29
2.5 อัลกอริทึมที่ใช้ในการแก้สมการ	42
2.6 เนื่องไขที่ใช้ในการพิจารณาเลือกแบบจำลอง	44
<b>3. การดำเนินงานวิจัย</b>	<b>46</b>
3.1 แนวคิดในการออกแบบวิธีการดำเนินงานวิจัย	46
3.2 การเก็บข้อมูลและการหาแบบจำลองด้วยวิธีหาอัตโนมัติ	48
3.3 การพัฒนาโปรแกรมหาแบบจำลองและวิเคราะห์แบบจำลอง	51
3.4 การทดสอบแบบจำลองในสภาวะต่างๆ	54
3.5 การทดสอบแบบจำลอง Hammerstein-Weiner โดยเทคนิค Cross validation	56
3.6 การหาจำลองแบบ Hammerstein-Weiner โดยใช้ตัวแปรหลายอินพุตເອົາຫຼຸດ	59
3.7 การวิเคราะห์คุณภาพไฟฟ้ากำลังของເອົາຫຼຸດທີ່ໄດ້ຈາກแบบจำลอง	61

<b>4. ผลการทดสอบ</b>	<b>62</b>
4.1 การหาแบบจำลองอินเวอร์เตอร์ในสภาพแวดล้อมตัว	62
4.2 การหาแบบจำลองในสภาพแวดล้อมตัว ด้วยวิธี Hammerstein-Wiener	66
4.3 การวิเคราะห์แบบจำลอง	68
4.4 การทดสอบการทำงานของแบบจำลองวิธี Hammerstein-Wiener ด้วย Simulink	79
4.5 การหาแบบจำลอง Hammerstein-Weiner ในสภาพแวดล้อมเชิงทฤษฎี	80
4.6 การหาแบบจำลองในสภาพแวดล้อมด้วยสแตนด์	86
4.7 การหาแบบจำลองโดยใช้เทคนิค Cross validation	89
4.8 การจำลองระบบหลายอินพุตเอาท์พุต (MIMO)	91
4.9 การวิเคราะห์คุณภาพไฟฟ้ากำลังจากแบบจำลอง	94
<b>5. สรุป</b>	<b>96</b>
5.1 สรุปงานวิจัย	96
5.2 ข้อเสนอแนะ	98
เอกสารอ้างอิง	100
ภาคผนวก	
ก. รายละเอียดอินเวอร์เตอร์ที่นำมาทดสอบ	105
ประวัติผู้วิจัย	110

## รายการตาราง

ตาราง	หน้า
1.1 ศักยภาพและเป้าหมายการผลิตไฟฟ้าจากพลังงานทดแทน	1
2.1 ชนิดและสมการทางคณิตศาสตร์ของระบบควบคุม	9
2.2 รูปแบบของสมการปริภูมิแต่ละแบบตามคุณลักษณะ	17
2.3 โครงสร้างแบบจำลองชนิดเชิงเส้น (Model Structure of Linear System)	33
2.4 สมบัติของตัวประมวลค่าในบล็อกไม่เป็นเชิงเส้น	37
3.1 แบบจำลองที่เป็นเชิงเส้น 4 วิชี และแบบจำลองที่ไม่เป็นเชิงเส้น 4 วิชีที่ใช้ในการจำลอง	53
3.2 สภาพการทำงานของอินเวอร์เตอร์ในสภาพเพิ่มขึ้น/ลดลงทรายเรียนที่	55
3.3 เงื่อนไขในการจำลองสภาพการทำงาน ไอส์แลนดิ้ง	56
3.4 เงื่อนไขการทดสอบในสภาพคงตัว 6 กรณี สำหรับทำ Cross Validation	57
4.1 สมบัติแบบจำลองเชิงเส้นของสัญญาณแรงดันไฟฟ้า	64
4.2 การเปรียบเทียบคุณสมบัติแบบจำลองไม่เป็นเชิงเส้น กับผลการทดลองจริง	65
4.3 การเปรียบเทียบสัญญาณแรงดัน กระแสและกำลังเมื่อใช้ฟังก์ชันไม่เป็นเชิงเส้น	67
4.4 สมบัติตัวประมวลค่าแบบ Deadzone inputnonlinear และ outputnonlinear	69
4.5 สมบัติตัวประมวลค่าแบบ Saturaion inputnonlinear และ outputnonlinear	69
4.6 สมบัติตัวประมวลค่าแบบ Piecewise linear	70
4.7 สมบัติของตัวประมวลค่าแบบ Sigmoid network	71
4.8 สมบัติของตัวประมวลค่าแบบ Wavelet network	72
4.9 การเปรียบเทียบค่ากำลังไฟฟ้า ในช่วงสภาวะทรายเรียนที่แบบเพิ่มขึ้น	82
4.10 การเปรียบเทียบค่ากำลังไฟฟ้า ในช่วงสภาวะทรายเรียนที่แบบลดลง	84
4.11 เงื่อนไขการทดสอบอินเวอร์เตอร์ในสภาพ ไอส์แลนดิ้ง	86
4.12 สมบัติแบบจำลอง ไอส์แลนดิ้งในกรณีที่ 1	88
4.13 สมบัติของแบบจำลอง ไอส์แลนดิ้งทั้ง 6 กรณี	89
4.14 การเปรียบเทียบแบบจำลองด้วยเทคนิค Cross validation	91
4.15 เปรียบเทียบผลการใช้อินพุตเอาท์พุตแบบ MISO, SIMO และ MIMO	92
4.16 การวิเคราะห์คุณภาพไฟฟ้าในสภาพคงตัวและสภาวะทรายเรียนที่	94

## รายการรูปประกอบ

รูป	หน้า
1.1 กระบวนการหาแบบจำลองทางคณิตศาสตร์ของระบบไนามิก	3
1.2 โภคภารมแสดงขั้นตอนของแนวทางในการแก้ปัญหา	5
2.1 โครงสร้างของอินเวอร์เตอร์เชื่อมต่อกับระบบไฟฟ้า	10
2.2 Nonlinear feedback system— The Lure's problem	11
2.3 การประมาณค่าฟังก์ไม่เชิงเส้นให้เป็นฟังก์ชันเชิงเส้น	15
2.4 ผลตอบสนองทางเวลาของระบบ	19
2.5 ลักษณะโนւเด้โภคภารม	20
2.6 ไนควิสท์พล็อต	22
2.7 การแบ่งระบบตามโครงสร้างและพารามิเตอร์	23
2.8 กระบวนการหาแบบจำลองระบบด้วยวิธีการหาอัตถักษณ์	23
2.9 กระบวนการสอน ตรวจสอบและทดสอบแบบจำลอง	25
2.10 การสุ่มแบบร้อยละ	26
2.11 Repeated random subsampling data	27
2.12 k-fold Cross Validation	28
2.13 Leave One Out Cross Validation	28
2.14 การแบ่งประเภทของการหาอัตถักษณ์ของระบบ	29
2.15 โครงสร้างแบบจำลองชนิดเชิงเส้น	30
2.16 การหาแบบจำลองวิธี Nonlinear Autoregressive with Exogenous (NARX)	34
2.17 แบบจำลอง Hammerstein Model	34
2.18 แบบจำลอง Weiner Model	35
2.19 แบบจำลอง Hammerstein-Weiner	36
2.20 ฟังก์ชันประมาณค่า แบบ Deadzone	37
2.21 ฟังก์ชันประมาณค่า แบบ Saturation	38
2.22 ฟังก์ชันประมาณค่า แบบ Piecewise	39
2.23 โครงสร้างของโครงข่ายประสาทเทียม	39
3.1 แนวคิดในการหาแบบจำลองของระบบด้วยวิธีการหาอัตถักษณ์ของระบบ	47
3.2 หลักการในการหาแบบจำลองทางคณิตศาสตร์ของระบบ	47
3.3 ขั้นตอนการหาแบบจำลองด้วยวิธีหาอัตถักษณ์	48
3.4 โภคภารมการตรวจข้อมูลสำหรับการหาแบบจำลอง	49
3.5 โภคภารมการตรวจข้อมูลสำหรับการหาแบบจำลองในสภาพแวดล้อมตัวและทราบเชี่ยนท์	49

หัว	หน้า
<b>รูป (ต่อ)</b>	
3.6 ໂຄສະເກຣມການຕຽບຈຳລວດຂໍ້ອຸນຫະສົມບັດທີ່ສໍາຫຼັບການຫາແບບຈຳລອງໃນສກວະໄອສ്ແລນດິງ	50
3.7 ການຫາແບບຈຳລອງດ້ວຍວິທີການຫາອັດລັກນິ້ມຂອງອິນເວັຣ໌ເຕອ້ວ໌	51
3.8 ໂຄສະເກຣມການຫາແບບຈຳລອງດ້ວຍວິທີອັດລັກນິ້ມຮະບນ	52
3.9 ໂຄສະເກຣມກາວິເຄຣະໜີແບບຈຳລອງເຊີງຮະບນຄວບຄຸມ	53
3.10 ການຫາແບບຈຳລອງດ້ວຍເຖິງກົດນິກ K-fold Cross Validation	58
3.11 ການຫາແບບຈຳລອງດ້ວຍເຖິງກົດນິກ Leave One Out Cross Validation	58
3.12 ການຫາແບບຈຳລອງໂດຍໄໝໃໝ່ No Cross Validation	58
3.13 ແບບຈຳລອງຂອງຮະບນ Single Input Single Output (SISO model)	59
3.14 ແບບຈຳລອງຂອງຮະບນ Multiple Input Single Output (MISO model)	60
3.15 ແບບຈຳລອງຂອງຮະບນ Single Input Multiple Output (SIMO model)	60
3.16 ແບບຈຳລອງຂອງຮະບນ Multiple Input Multiple Output (MIMO model)	60
3.17 ການວິເຄຣະໜີຄຸນກາພໄຟຟໍາກຳລັງຈາກການຕຽບຈຳລວດແລະການຈຳລອງ	61
<b>4.1 ຮູບຄົ່ນທີ່ບັນທຶກໄດ້ຈາກການທົດລອງ</b>	<b>62</b>
4.2 ການແປ່ງຂໍ້ອຸນຫະອອກເປັນ 2 ສ່ວນ ຄື້ອ Estimate data ແລະ Validate data	63
4.3 ສັນນູາມແຮງດັນຈິງແລະຄ່າພິພລາດແບບຈຳລອງວິທີ Hammestein-Wiener ພິງກໍ່ສັນ PWlinear	67
4.4 ກາຮັກຄຸນລັກນິ້ມຂອງ Input nonlinearity estimator ທັນນິດພິງກໍ່ສັນ Deadzone	69
4.5 ກາຮັກຄຸນລັກນິ້ມຂອງ Output nonlinearity estimator ທັນນິດພິງກໍ່ສັນ Saturation	70
4.6 ກາຮັກຄຸນລັກນິ້ມຂອງ Output nonlinearity estimator ທັນນິດພິງກໍ່ສັນ PWlinear	70
4.7 ກາຮັກຄຸນລັກນິ້ມຂອງ Output nonlinearity estimator ທັນນິດພິງກໍ່ສັນ Sigmoidnetwork	71
4.8 ກາຮັກຄຸນລັກນິ້ມຂອງ Input nonlinearity estimator ທັນນິດພິງກໍ່ສັນ Waveletnetwork	72
4.9 ສມບັດຂອງແບບຈຳລອງທີ່ເປັນເຊີງເສັ້ນ	74
4.10 Bode plot diagram	75
4.11 ການຕອບສັນທາງເວລາ Step response	76
4.12 ການຕອບສັນທາງເວລາ Impulse response	76
4.13 ການວິເຄຣະໜີເສັ້ນຢາພຂອງຮະບນ Nyquist plot	77
4.14 ການວິເຄຣະໜີເສັ້ນຢາພຂອງຮະບນ Nichols chart	78
4.15 I/O Pole zero	78
4.16 ການທົດສອບການທຳມານຂອງແບບຈຳລອງ	79
4.17 ການເປົ້າຍືນເຖິງສັນນູາມແຮງດັນຈິງແບບຈຳລອງວິທີ Hammerstein-Wiener ໂດຍໃໝ່ພິງກໍ່ສັນ Piecewise Linear ກັບຂໍ້ອຸນຫະສົມທົດສອບ (Testing data)	79
4.18 ຮູບຄົ່ນໃນສກວະທຽບເຊີນທີ່ເພີ່ມເຂົ້ນ	81

หัวข้อ (ต่อ)	หน้า
4.19 การเปรียบเทียบกำลังไฟฟ้าจากแบบจำลองกับข้อมูลจริง	81
4.20 รูปคลื่นในสภาวะทรายเชียนท์ลดลง	83
4.21 การเปรียบเทียบผลกำลังไฟฟ้าจากแบบจำลองกับสัญญาณจริงในสภาวะลดลง	84
4.22 เครื่องมือวิเคราะห์แบบกราฟระบบเชิงเส้นของแบบจำลองในสภาวะลดลงฉับพลัน	85
4.23 กราฟแสดงตำแหน่งโพล -ซีโร่ของระบบ	86
4.24 รูปคลื่นอินพุตและเอาท์พุตของการทดลองในสภาวะไอล์ส์แลนดิ้งทั้ง 6 กรณี	87
4.25 การเปรียบเทียบผลของแบบจำลองกับสัญญาณจริงในสภาวะไอล์ส์แลนดิ้ง	89
4.26 รูปคลื่นกำลังไฟฟ้าเมื่อควบคุมกระแสตรงให้คงที่ (11 A) และปรับแรงดัน	90
4.27 รูปคลื่นเมื่อควบคุมแรงดันตรงให้คงที่ (240 V) และปรับกระแส	90
4.28 รูปคลื่นกำลังที่นำมาต่อ กันเป็นข้อมูลประเมินค่าและข้อมูลตรวจสอบและการจำลอง	91
4.29 รูปคลื่นกำลังเอาท์พุตกับสัญญาณจริง แบบจำลอง MISO	93
4.30 การเปรียบเทียบแรงดันและกระแสเอาท์พุตแบบจำลอง SIMO	93
4.31 การเปรียบเทียบแรงดันและกระแสเอาท์พุตแบบจำลอง MIMO	93
4.32 ผลการทดลองและการจำลองรูปคลื่นกระแสเอาท์พุตในสภาวะทรายเชียนท์ลดลง	94

## รายการสัญลักษณ์

		หน่วย
G	=	$\text{W/m}^2$
T	=	$^\circ\text{C}$
Ts	=	second
R	=	$\Omega$
L	=	Henry
C	=	Farad
$X_L$	=	$\Omega$
$X_C$	=	$\Omega$
Vdc	=	V
Idc	=	A
Pdc	=	W
Vac	=	V
Iac	=	A
Pac	=	W
Iinv	=	A
Igrid	=	A
Iload	=	A
P	=	W
Q	=	VAR
S	=	VA
f	=	Hz
THDv	=	%
THDi	=	%
PCC	=	Point of Common Coupling
SS	=	stage space equation
TF	=	transfer function
ZPK	=	zero pole gain
$X(\cdot)$	=	เวกเตอร์ตัวแปรสถานะ (state vector)
$Y(\cdot)$	=	เวกเตอร์สัญญาณขาออก (output vector)

$U(\cdot)$	=	เวกเตอร์สัญญาณขาเข้าหรือสัญญาณควบคุม (input or control vector)
$A(\cdot)$	=	เมตริกซ์ตัวแปรสถานะหรือพลวัต (state matrix, dynamics matrix)
$B(\cdot)$	=	เมตริกซ์ขาเข้า (input matrix)
$C(\cdot)$	=	เมตริกซ์ขาออก (output matrix)
$D(\cdot)$	=	เมตริกซ์ป้อนผ่าน (feed-through or feed-forward matrix)
NUM	=	numerator
DEN	=	denumerator
$Z(z)$	=	zeros
$P(z)$	=	poles
tr	=	rising time
ts	=	settling time
b	=	overshoot
$e_{ss}$	=	steady state error
$\mu$	=	mean
$\sigma$	=	standard deviation
$\sigma^2$	=	variance
AR	=	Auto Regressive Model
ARX	=	Auto Regressive with Exogenous Model
ARMA	=	Auto Regressive Moving Average Model
ARMAX	=	Auto Regressive Moving Average with Exogenous Model
BJ	=	Box Jenkins model
OE	=	Output error model
$u(t)$	=	Input
$y(t)$	=	Output
$q$	=	Time shift operator
$A(q)$	=	ค่าสัมประสิทธิ์อาจทพุต
$B(q)$	=	สัมประสิทธิ์ของตัวเศษของอินพุต
$C(q)$	=	ค่าสัมประสิทธิ์ของตัวส่วนของอินพุต
$D(q)$	=	ค่าสัมประสิทธิ์ตัวเศษของสัญญาณรบกวน
$E(q)$	=	ค่าสัมประสิทธิ์ตัวส่วนของสัญญาณรบกวน
nb	=	จำนวนโพล
nf	=	จำนวนชีโริ บวก 1

$n_k$	=	จำนวนตัวหน่วงเวลา (Time delay)
NARX	=	Nonlinear Auto Regressive with Exogenous Model
HM	=	Hammerstein Model
WM	=	Wiener Model
HW	=	Hammerstein-Wiener Model
DZ	=	Deadzone estimator
ST	=	Saturation estimator
PW	=	Piecewise Linear estimator
SN	=	Sigmoidnet estimator
WN	=	Wavelet Network estimator
$u$	=	input function
$y$	=	output function
$r$	=	ตัวแปรดูลอป (regressor)
$Q$	=	nonlinear subspace
$P$	=	linear subspace
$L$	=	linear coefficient
$D$	=	ເອາທິພຸດອອົບເຕີ້ຕ (output offset)
$b$	=	dilation coefficient
$a$	=	output coefficient
$c$	=	translation coefficient
$f(\cdot)$	=	Sigmoid function
$as$	=	scaling coefficient
$aw$	=	wavelet coefficient
$bs$	=	scaling dilation coefficient
$bw$	=	wavelet dilation coefficient
$cs$	=	scaling translation coefficient
$cw$	=	wavelet translation coefficient
$f(\cdot)$	=	scaling function (radial function)
$g(\cdot)$	=	wavelet function (radial function)
$fit$	=	Goodness of fit
AIC	=	Akaike Information Criterion
$V$	=	Loss function

FPE	=	Final Prediction Error
THD	=	Total Harmonic Distortion
Vrms	=	Root Mean Square Voltage
Irms	=	Root Mean Square Current
FCLV	=	Fix Current Low Voltage
FCMV	=	Fix Current Medium Voltage
FCHV	=	Fix Current High Voltage
FVMC	=	Fix Voltage Medium Current
F VLC	=	Fix Voltage Low Current
F VHC	=	Fix Voltage High Current
SISO	=	Single Input Single output
MISO	=	Multiple Input Single output
SIMO	=	Single Input Multiple output
MIMO	=	Multiple Input Multiple output